

TUGAS SARJANA

STUDI KARAKTERISTIK SECONDARY FLOW DAN SEPARASI ALIRAN PADA RECTANGULAR DUCT 90⁰ DENGAN ANGKA REYNOLDS 110.000



Disusun oleh : Darmanik Rachman

NIM : L2E 307012

JURUSAN TEKNIK MESIN FAKULTAS TEKNIK

UNIVERSITAS DIPONEGORO

SEMARANG

2011

TUGAS SARJANA

Diberikan kepada : Nama : Darmanik Rachman
NIM : L2E 307012

Dosen Pembimbing : 1. Dr. Ir. Dipl. Ing. Berkah Fajar TK
2. Khoiri Rozi, ST, MT

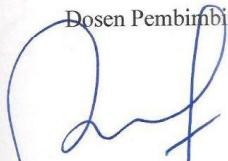
Jangka Waktu : 23 (dua puluh tiga) bulan

Judul : STUDI KARAKTERISTIK SECONDARY FLOW DAN
SEPARASI ALIRAN PADA RECTANGULAR DUCT
90⁰ DENGAN ANGKA REYNOLDS 110.000

Isi Tugas : - Menentukan aliran sekunder yang terjadi dalam
rectangular duct 90°.
- Menentukan separasi yang terjadi dalam *rectangular duct* 90°.
- Menentukan *debit* (Q) dan *discharge coefficient* (Cd).

Menyetujui

Dosen Pembimbing I



Dr. Dipl. Ing. Ir. Berkah Fajar TK
NIP. 195907221987031003

Dosen Pembimbing II



Khoiri Rozi, ST, MT
NIP. 197602162009121001

HALAMAN PENGESAHAN

Skripsi ini diajukan oleh :
NAMA : Darmanik Rachman
NIM : L2E 307 012
Jurusan/Program Studi : Teknik Mesin
Judul Skripsi : Studi Karakteristik Secondary Flow Dan Separasi Aliran Pada Rectangular Duct 90° Dengan Angka Reynolds 110.000

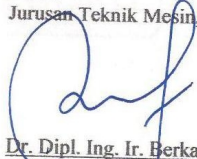
Telah berhasil dipertahankan dihadapan Tim Penguji dan diterima sebagai bagian persyaratan yang diperlukan untuk memperoleh gelar Sarjana Teknik pada Jurusan Teknik Mesin, Fakultas Teknik, Universitas Diponegoro.

TIM PENGUJI

Pembimbing I : Dr. Dipl. Ing. Ir. Berkah Fajar TK ()
Pembimbing II : Khoiri Rozi, ST, MT ()
Penguji : Dr. Rusnaldy, ST, MT ()
Penguji : Ir. Sugeng TA, MT ()

Semarang,

Ketua
Jurusan Teknik Mesin,


Dr. Dipl. Ing. Ir. Berkah Fajar TK
NIP. 195907221987031003

ABSTRAKSI

Pada studi eksperimen dengan AF 15 berdimensi 50 mm x 100 mm dengan angka *Reynolds* 110.000 akan didapatkan nilai *pressure coefficient* (C_p) dan grafik C_p . Dalam simulasi ini menggunakan perangkat lunak FLUENT 6.3.26 dengan metode *k-epsilon*, model *realizable* dan model turbulensi didekat dinding *Non-Equilibrium*. Hasil simulasi digunakan untuk memverifikasi nilai *pressure coefficient* (C_p) pada hasil eksperimen berbentuk grafik setangkup yang hampir serupa. Ada dua hasil yang didapat dari simulasi *rectangular duct 90°*. Pertama, menunjukkan adanya aliran sekunder yang disebabkan adanya perbedaan tekanan antara *inner wall* dan *outer wall* yang mengakibatkan gerakan fluida tidak hanya searah arus utamanya tetapi juga kearah melintang pada *outer wall* menuju *inner wall* akibat dari aliran melintang tersebut maka terjadi fenomena *vortex* pada *inner wall*. Kedua, menunjukkan tidak terjadi separasi dikarenakan fluida masih mempunyai momentum untuk melawan gradient tekanan.

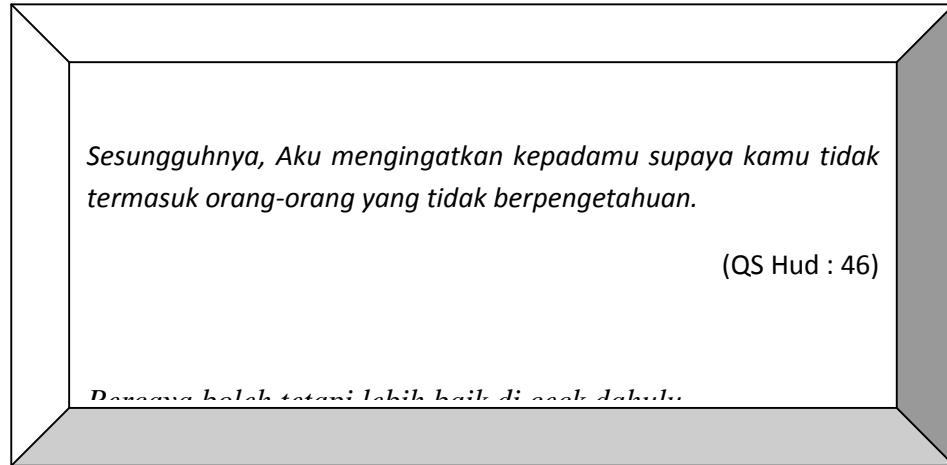
Kata kunci : aliran sekunder, separasi aliran

ABSTRACT

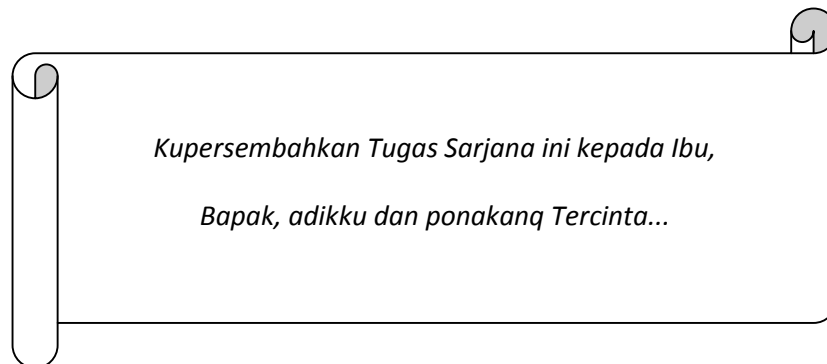
In experimental studies with AF 15 dimensions 50 mm x 100 mm with Reynolds number 110.000 will obtain the pressure coefficient (C_p) and graph C_p . In this simulation using the software FLUENT 6.3.26 using k -epsilon, realizable model and turbulence model near the wall of Non-Equilibrium. The simulation results are used to verify the value of pressure coefficient (C_p) on the experimental results in the form of symmetric graphs are almost similar. There are two results obtained from simulation of rectangular duct 90° . First, it shows the existence of secondary flow caused by the pressure difference between the inner wall and outer wall resulting fluid motion is not only the main flow direction but also the direction transverse to the outer wall toward the inner wall of the cross-flow effect is the phenomenon of vortex on the inner wall. Second, showed no separation occurs because the fluid still has the momentum to resist the pressure gradient.

Keywords: secondary flow, flow separation

MOTTO



PERSEMBAHAN



KATA PENGANTAR

Segala puji syukur senantiasa penulis panjatkan kepada Allah SWT, karena berkat rahmat-Nya, penulis dapat menyelesaikan laporan tugas akhir ini dengan judul “Studi Karakteristik Secondary Flow Dan Separasi Aliran Pada Rectangular Duct 90⁰ Dengan Angka Reynolds 110.000”. Tugas sarjana ini merupakan salah satu syarat yang harus dipenuhi pada program strata satu (S1) di Jurusan Teknik Mesin, Fakultas Teknik, Universitas Diponegoro Semarang.

Pada kesempatan ini penulis ingin mengucapkan terima kasih atas bimbingan, bantuan, serta dukungan kepada :

1. Dr. Ir. Dipl. Ing. Berkah Fajar TK, selaku Dosen Pembimbing I dan Ketua Jurusan Teknik Mesin Universitas Diponegoro Semarang.
2. Khoiri Rozi, ST, MT, selaku Dosen Pembimbing II.
3. Kedua orang tua dan adik atas do'a, bantuan serta dorongannya selama ini.
4. Teman-teman mahasiswa teknik mesin ekstensi D3 angkatan 2007, yang telah banyak membantu penulis baik secara moril, maupun materiil.

Dalam penulisan tugas sarjana ini penulis menyadari banyak kekurangan. Oleh karena itu segala kritik yang bersifat membangun akan diterima dengan senang hati untuk kemajuan bersama. Akhir kata penulis berharap semoga laporan tugas akhir ini dapat memberikan manfaat kepada siapa saja yang membutuhkan data maupun referensi yang ada dalam laporan ini.

Terima kasih.

Semarang, 22 Maret 2010

Penulis

DAFTAR ISI

HALAMAN JUDUL.....	i
HALAMAN TUGAS SARJANA.....	ii
HALAMAN PENGESAHAN.....	iii
ABSTRAKSI.....	iv
<i>ABSTRACT</i>	v
HALAMAN PERSEMBAHAN.....	vi
KATA PENGANTAR	vii
DAFTAR ISI.....	viii
DAFTAR TABEL.....	xi
DAFTAR GAMBAR	xii
DAFTAR SIMBOL.....	xv
BAB I PENDAHULUAN.....	1
1.1 Latar Belakang Masalah.....	1
1.2 Perumusan Masalah	2
1.3 Batasan Masalah.....	2
1.4 Tujuan Penelitian	3
BAB II TINJAUAN PUSTAKA.....	4
2.1 Penelitian terdahulu	4
2.1.1 Kajian Aliran Pada Endwall.....	4
2.1.2 Distribusi korfisien tekanan pada belokan	5
2.1.3 Aliran Sekunder	6
2.2 Topologi Separasi Pada Aliran Fluida.....	9

2.2.1	Pola Aliran	11
2.2.2	Pola Separasi	12
2.3	Aliran didalam Rectangular duct 90°	15
 BAB III METODE PENELITIAN.....		20
3.1	Deskripsi Alat Uji	20
3.2	Instalasi Alat Uji	22
3.3	Peralatan Pendukung	25
3.4	Prosedur Percobaan	27
3.5	Langkah-langkah Percobaan	27
3.6	Studi Numerik	29
3.6.1	<i>CFD</i>	29
3.6.2	Model Turbulensi	30
3.6.2.1	k-epsilon	31
3.6.2.1.1	Standart	31
3.6.2.1.2	RNG	31
3.6.2.1.3	Realizable.....	32
3.6.2.2	k-omega.....	32
3.6.2.2.1	Standart	32
3.6.2.2.2	SST.....	33
3.6.3	Model Turbulensi di Dekat Dinding	33
3.6.4	Diskretisasi	34
3.6.4.1	<i>First - Order Upwind</i>	34
3.6.4.2	<i>Second - Order Upwind</i>	34
3.4.5	Jenis Grid.....	35
3.4.6	Kualitas mesh	35
3.6.6.1	Kerapatan Nodal.....	35
3.6.6.2	Bentuk cel.....	36

3.6.7	Langkah-langkah FLUENT	37
3.6.7.1	Pemodelan dan Meshing	37
3.6.7.2	Prosedur Fluent 6.3.26	37
BAB IV	HASIL ANALISA DAN PEMBAHASAN	44
4.1	Pengolahan Data	44
4.1.1	Mencari Kecepatan.....	44
4.1.2	Perhitungan Bilangan Reynolds.....	45
4.1.3	Pembacaan Data Eksperimen.....	46
4.1.4	Perhitungan Debit.....	47
4.1.4.1	Perhitungan Debit Teoritis	47
4.1.4.2	Perhitungan Debit Aktual.....	47
4.2	Hasil dan Analisa	48
4.2.1	Distribusi korfisien tekanan	49
4.2.2	Aliran Sekunder	55
4.2.3	Separasi Aliran	60
BAB V	KESIMPULAN DAN SARAN.....	60
5.1	Kesimpulan	60
5.2	Saran.....	61

DAFTAR PUSTAKA

LAMPIRAN

DAFTAR TABEL

Tabel 4.1	Pembacaan manometer.....	46
Tabel 4.2	Tekanan dan C_p eksperimen	49
Tabel 4.3	Tekanan statis hasil simulasi studi numerik.....	53
Tabel 4.4	C_p eksperimen dan C_p fluent.....	79

DAFTAR GAMBAR

Gambar 2.1	Geometri <i>endwall</i> persegi	4
Gambar 2.2	Distribusi tekanan statik pada dinding saluran.....	5
Gambar 2.3	Profil kecepatan pada cembung dan cekung.	6
Gambar 2.4	Geometri belokan dan sistem koordinat.....	6
Gambar 2.5	Schematik diagram pada belokan dan sistem koordinat	7
Gambar 2.6	Kontur kecepatan (atas) dan kecepatan vektor (bawah), sisi kiri (<i>inner wall</i>) sisi kanan.....	7
Gambar 2.7	Geometri belokan square 90^0 dan rectangular 90^0	8
Gambar 2.8	Kontur tekanan <i>curved section</i>	9
Gambar 2.9	Separasi aliran pada <i>curved duct</i>	10
Gambar 2.10	Titik kritis dalam pola aliran	11
Gambar 2.11	Geometri diffuser	11
Gambar 2.12	Separasi global di dinding bagian dalam diffuser dengan rasio $R/W_1=1$ dan $U_m=0,5\text{m/s}$ ($Re = 97.000$).....	12
Gambar 2.13	Arus balik daerah untuk diffuser dengan rasio $R/W_1=1$ dan $U_m=0,5\text{m/s}$ ($Re = 97.000$)	12
Gambar 2.14	Separasi global di dinding bagian dalam diffuser dengan rasio $R/W_1=1$ dan $U_m=2\text{m/s}$ ($Re = 388.000$).....	12
Gambar 2.15	Arus balik daerah untuk diffuser dengan rasio $R/W_1=1$ dan $U_m=2\text{m/s}$ ($Re = 388.000$)	13
Gambar 2.16	Separasi global di dinding bagian dalam diffuser dengan rasio $R/W_1=4$ dan $U_m=0,5\text{m/s}$ ($Re = 97.000$).....	13
Gambar 2.17	Daerah aliran balik untuk diffuser dengan rasio $R/W_1=4$ dan $U_m=0,5\text{m/s}$ ($Re = 97.000$).....	13

Gambar 2.18	Separasi global di dinding bagian dalam diffuser dengan rasio $R/W_1=4$ dan $U_m=2\text{m/s}$ ($Re = 388,000$).....	14
Gambar 2.19	Daerah <i>cross-section</i> dengan rasio $R/W_1=4$ dan $U_m=2\text{m/s}$ ($Re = 388,000$).....	14
Gambar 2.20	Skema yang menggambarkan separasi aliran pada duct	15
Gambar 2.21	Pembentukan <i>secondary flow</i> di dalam suatu belokkan dari suatu saluran	16
Gambar 2.22	Aliran pada belokan	17
Gambar 3.1	Alat Uji <i>Air Flow Bench AF 10</i>	20
Gambar 3.2	Instalasi Penelitian	21
Gambar 3.3	Blower	21
Gambar 3.4	Honey Comb	22
Gambar 3.5	a. <i>Rectangular duct 90°</i>	23
Gambar 3.5	b. Dimensi dari <i>Rectangular duct 90°</i> dan posisi dari <i>pressure</i> <i>tappings</i>	23
Gambar 3.6	Katup kontrol	24
Gambar 3.7	<i>Thermometer</i>	24
Gambar 3.8	<i>Inclinable Multi Tube Manometer</i>	25
Gambar 3.9	<i>Reservoir</i>	25
Gambar 3.10	Tipe Sel 2D	34
Gambar 3.11	Tipe Sel 3D	34
Gambar 3.12	Bagian-bagian Cell.....	35
Gambar 3.13	Jenis Mesh dan Penggunaannya.....	35
Gambar 3.14	Pemilihan model fluent	37
Gambar 3.15	Geometri <i>rectangular duct 90°</i> dengan <i>GAMBIT</i>	37
Gambar 3.16	Model solver.....	38
Gambar 3.17	Model viscos	38
Gambar 3.18	Pemilihan material	39

Gambar 3.19	Kondisi daerah operasi	39
Gambar 3.20	Boundary conditions	40
Gambar 3.21	Pemilihan penyelesaian	40
Gambar 3.22	Proses inisiasi	41
Gambar 3.23	Proses iterasi.....	41
Gambar 3.24	Setelah konvergen	42
Gambar 4.1	Grafik Cp radial terhadap plane	49
Gambar 4.2	Grafik Cp <i>outer</i> dan <i>inner</i> terhadap plane.....	49
Gambar 4.3	Kontur tekanan statik	50
Gambar 4.4	Kontur tekanan disetiap plane	51
Gambar 4.5	Kontur tekanan pada <i>rectangular duct 90⁰</i>	51
Gambar 4.6	Grafik verifikasi nilai Cp eksperimen dan Cp dan <i>fluent</i>	53
Gambar 4.7	Grafik verifikasi Cp <i>radial</i> eksperimen dan Cp <i>radial fluent</i>	53
Gambar 4.8	Vektor kecepatan disetiap plane.....	55
Gambar 4.9	<i>Streamline</i>	57
Gambar 4.10	Gerak <i>rolling</i> tampak dari atas	57
Gambar 4.11	<i>Secondary flow</i> tampak dari <i>endwall</i>	58
Gambar 4.12	<i>vortex</i> tampak dari <i>endwall</i>	58
Gambar 4.13	Vektor kecepatan.....	59

Daftar Simbol

A	area, m ²
b	tinggi, mm
Cd	<i>discharge coefficient</i>
Cp	<i>pressure coefficient</i>
Dh	diameter hidrolis, m
g	percepatan gravitasi, kg m/s
h	lebar, mm
I	intensitas turbulen, %
m	massa, kg
P	tekanan, Pa
p_o	tekanan terukur, Pa
Q	laju aliran volume, m ³ /s
r	radius, mm
Re	<i>reynold number</i>
V/u	kecepatan, m/s
	massa jenis, kg/m ³
μ	viskositas, kg/m-s